

## 泥流型土石流の堆積過程について

名城大学理工学部 新井宗之

1.はじめに：土砂を高濃度に含む土石流のような流れは含有している土砂礫の径やそれが流動している条件により、その流動機構が異なる。土石流には含有土砂礫の径が水深に比して比較的大きく粒子相互の衝突効果が支配的な石礫型土石流と粒子径が水深に比して比較的小さく流体内的粒子と水が一体とな、た混合の効果が大きい泥流型土石流がある。ところで、土石流の停止堆積機構については従来、単に土砂と水が一体とな、た流れとして考えられ、どちらかと言えば石礫型土石流を対象にして研究されて来たように思われる。そしてその堆積過程については比較的よく説明されて来ておりと思われる。しかしながら、後者のような粒子径が比較的小さな土石流や泥流と言われている高濃度流れに対する堆積過程についてもそれらの理論が適応するのかどうかは明らかではない。コロンビアのネバドナルイス火山の噴火による泥流のアルメロ市の土砂堆積災害を引き合いに出すまでもなく、火山泥流や崩壊土の土石流化による堆積なども必ずしも従来の考え方を十分適応できるとは知らないようである。従て泥流型土石流の停止堆積機構を明らかにする必要があるが、ここでは従来の考え方を比較的粒径の小さい高濃度流れについて適応しその適応性について考察する。

2.実験条件・方法：実験水路は図-1に示すように水路勾配が途中で変化する可変勾配水路で、幅15cm、上流側水路が6m、下流側が4mである。水路はまた底側透明アクリルであり、水路床はベンキ仕上げの滑面である。実験砂は  $d_{50} = 0.102 \sim 0.016\text{ cm}$ 、密度  $\rho = 2.69 \sim 2.79\text{ g/cm}^3$ 。実験条件は、土砂の体積濃度  $C = 0.2 \sim 0.4$ 、単位幅流下流量  $q_T = 53.3, 80\text{ cm}^3/\text{s}$ 、上・下流の水路勾配は  $\theta_u = 1^\circ$ 、 $\theta_d = 0.57^\circ, 3.1^\circ$  である。実験方法は、水路上流端より土砂と水を供給し流下させ堆積過程を35mmカメラ（モータドライバ駆動）で撮影し解析した。

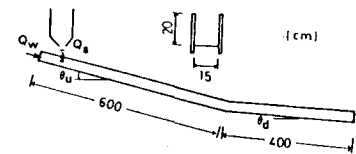


図-1 実験水路

3.考察：1)停止距離：土石流の停止堆積過程の研究には、

運動量保存則を用いたもの、土石流中の粒子をラグランジ的にとらえある確率密度分布に基づいて堆積すると考えるものなどがあるが、ここでは実際の土石流堆積にも適応例のある運動量保存則を用いたものについて考える。高橋は土石流先端部の停止距離を水路勾配変化点、下流側をコントロールボリュームにして運動量保存則を用いて次のような式を得ている。ここで坑圧の項の中で粒子の衝突におけるBagnold分散応力を考慮している。勾配変化点を基準点とし、下流側水路床をX軸にとると、先端部到達距離X<sub>L</sub>は

$$x_L = V^2 / G \quad \dots (1)$$

$$G = \{(c - \rho) g \tan u \cos \theta d \tan \alpha\} / \{(c - \rho) (d \tan u + \rho) - g \sin \theta d\}$$

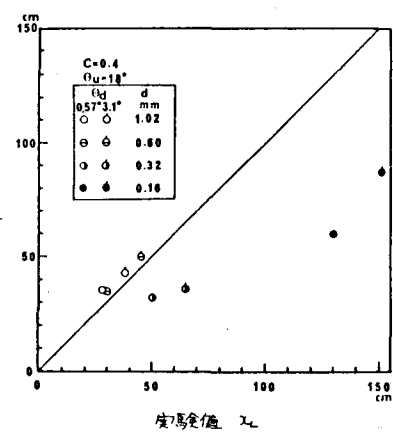


図-2 土石流の先端停止距離

$$V = \rho u \cos(\theta_u - \theta_d) [1 + \{C(\alpha - \rho)(du K_a + \rho)\} \cos \theta_u]$$

$$/[2\{(\alpha - \rho)(du + \rho)\} \cdot \rho h_u / m_u^2]$$

ここに、 $\alpha$ 、 $\rho$ ：土砂、水の密度、 $C_{du}$ ：上流側水路での土砂濃度、 $h_u$ 、 $m_u$ ：上流側での水深、平均流速、 $\theta_u$ 、 $\theta_d$ ：上、下流の水路勾配、 $K_a$ ：主動土圧係数。式(1)による計算値と実験値とを比較したものが図-2、図-3である。図-2は土砂濃度を $C=0.4$ として粒子径を $d_{50}=1.02 \sim 0.16 \text{ mm}$ に変えた結果である。これによると粒子径が比較的大きい $d_{50}=1.02 \text{ mm} \sim 0.6 \text{ mm}$ 程度では式(1)でよく説明されているようであるが、粒径が小さくなると実験値の方が大きくなっている。これは粒子径が小さくなると浮遊してしまって流下する量が多くなることを示しており、実際には停止先端位置を決めるのも少々難しくなることがある。図-3は $d_{50}=1.02 \text{ mm}$ の実験砂について濃度を $C=0.2 \sim 0.4$ に変化させた場合の式(1)との関係を示している。濃度が $C=0.4 \sim 0.3$ 程度と高い場合にはよく適応しているが、 $C=0.2$ 程度になると計算値の方がかなり大きな値となる。

2)初期堆積過程：先端部が停止した後、土石流はそれを乗り越えて堆積するかその堆積過程が次のように導かれている。  

$$x = \sqrt{2g_T (C_{du}/(C_A) \cdot t)} \quad \dots (2)$$

$$A = \tan(r - \theta_d)/[\tan(r - \theta_d)\tan(\theta_u - \theta_d) + 1] + [\tan(r - \theta_d)/\{\tan(r - \theta_u) \cdot \tan(\theta_u - \theta_d) + 1\}]^2 / \{\tan^2 \cos^2(\theta_u - \theta_d)\}$$

$$y = 1/\cos(\theta_u - \theta_d) \cdot \tan(r - \theta_d)/[\tan(r - \theta_d)\tan(\theta_u - \theta_d) + 1] \cdot X \quad \dots (3)$$

ここに、 $g_T$ ：単位幅流量、 $C_A$ ：土砂の堆積濃度、 $r$ ：土砂の安定堆積勾配。図-4、5は粒径 $d_{50}=1.02 \text{ mm}$ で濃度が $C=0.3$ の実験結果及び式(2)～(3)による計算結果である。破線が計算値実線が実験結果であり、それが止むや堆積開始から $t=6.2 \text{ sec}$ 及び $t=4.9 \text{ sec}$ 後の形状を示している。必ずしも計算値と実験値とかよく一致しているとは言えないまでもよく傾向を示していると思われる。しかしながら図-6、7の粒径が $d_{50}=0.16 \text{ mm}$ の場合には計算値と実験値とは大きく違いかある。それは上式が適用される中に水と粒子とは容易に分離し粒子が堆積するという前提があるが、粒子が微細の場合には浮遊し易いため水が取り立たないからであろう。

参考文献 1)高橋、他：東大防災研年報、第22号B-2, 154-164

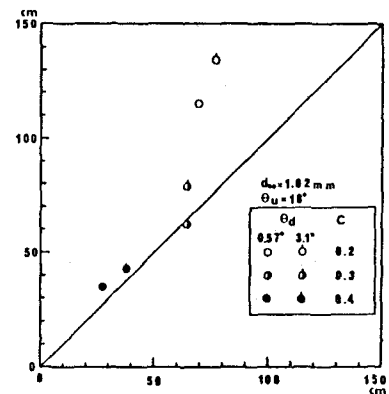


図-3 土石流の先端停止距離

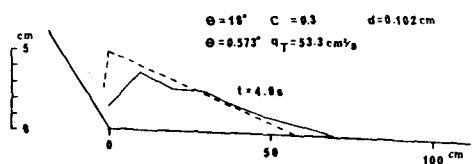


図-4

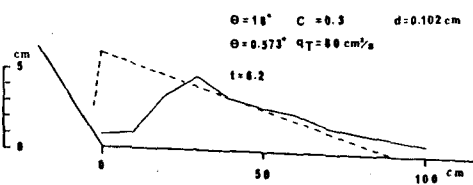


図-5

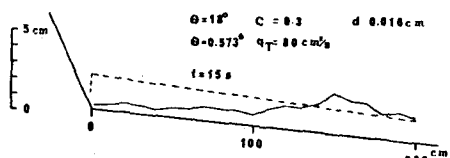


図-6

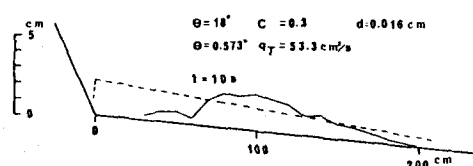


図-7